

# ArF 准分子激光器的窄线宽可调谐 运转及注入放大

王 杰 吴 峰 施翔春 肖绪辉 姚建铨

(天津大学精密仪器与光电工程学院激光与光电子研究所 天津 300072)

**提要** 在一台快放电泵浦的 ArF 准分子激光振荡放大系统的振荡级上采用光栅、扩束镜、光阑等腔内元件,用组合输出镜获得了线宽小于 0.1 nm, 调谐范围~ 1 nm 的激光输出。注入到非稳腔结构的放大级, 注入后放大级效率提高了约 50%, 获得了平均 30 mJ/脉冲的高光束质量的窄线宽可调谐激光, 最大单脉冲能量> 50 mJ, 并进行了氧气的吸收光谱实验。

**关键词** ArF 准分子激光器, 窄线宽, 可调谐, 注入放大

真空紫外 ArF 准分子激光由于光子能量大(6.43 eV), 峰值功率高, 被广泛地用于研究物质特性、进行半导体诱导掺杂、激光诱导化学气相沉积、工业加工等方面。近年来, 利用 ArF 激光的瑞利散射和氧气的基态以及振动激发态在 193 nm 附近吸收发射荧光, 用于对复杂高速空气流场的瞬态实时无干扰测量<sup>[1,2]</sup>, 引起航空航天界的重视。在许多情况下, 需要窄线宽和可调谐运转<sup>[2]</sup>。本文的背景是要研制一台满足测速要求的窄线宽可调谐 ArF 激光光源。自从准分子激光器诞生以来, 准分子激光器得到了飞速发展, 已经形成系列产品, 但在国内较高功率输出的窄线宽可调谐 ArF 准分子激光器很少报道。1984 年成序三等人报道了对 XeCl 激光的线宽进行压缩, 得到线宽~ 0.001 nm, 2 mJ/脉冲的激光输出<sup>[3]</sup>。后来又对进口 KrF 准分子振动放大系统进行了改造, 获得了窄线宽运转<sup>[4]</sup>。我们在一台 1995 年中国科学院安徽光机所研制的 ArF 准分子激光振动放大系统上<sup>[5]</sup>, 利用光栅、扩束镜、光阑等腔内元件, 并用组合输出镜得到了线宽小于 0.1 nm, 调谐范围~ 1 nm 的激光稳定运转, 注入到放大级获得了平均 30 mJ/脉冲的高光束质量的窄线宽可调谐激光, 激光发散全角为  $0.08 \times 0.2$  mrad, 最大单脉冲能量> 50 mJ, 实现了连续调谐和稳定运转, 满足了实用要求。

## 1 实验装置

中国科学院安徽光机所研制的 ArF 准分子激光振动放大系统, 采用紫外预电离快放电泵浦, 充气比例为  $F_2/Ar/He = 0.1\%/5.5\%/94.4\%$ , 总气压为 3 atm, 放电电压为 30.0 kV, 腔内加透紫外石英制 5 倍扩束镜自由振荡输出单脉冲能量~ 5 mJ。注入~ 1 mJ 能量到非稳腔结构的放大级得到平均每脉冲~ 55 mJ 的高光束质量的激光输出, 脉宽为 20 ns。

我们采用紫外反射光栅代替全反镜, 激光通过扩束后照在光栅上, 通过转动光栅进行调谐, 光栅为 3600 线/mm, 闪耀波长为 240 nm, 闪耀角为 25.35°, 衍射效率~45%。经计算在 193 nm 处的闪耀角为 20.33°, 衍射效率~40% 左右, 腔内加两只  $\phi 8$  的小孔光阑。两种输出耦合镜为未镀膜的透紫外石英平片和组合镜。组合镜由全反镜和起分光作用的透紫外石英平板组成, 通过改变平板的倾斜角度来改变输出损耗以代替部分反射率输出镜, 输出通过有  $\phi 4$  小孔的全反镜注入放大级。采用组合镜输出的装置如图 1 所示。

## 2 实验结果

自由运转的 ArF 激光中心波长约为 193.4 nm, 线宽~1 nm, 由于空气中氧气 Schumann-Runge(4, 0) 带的强烈吸收(见表 1), 一般输出谱线有对应的凹陷, 如文献[6] 所示。

表 1 氧分子 Schumann-Runge 带光谱(4, 0)

Table 1 Oxygen Schumann-Runge (4, 0) bands

spectrum	wavelength (nm)	spectrum	wavelength (nm)	spectrum	wavelength (nm)
P(13)	192.9553	P(21)	193.6706	R(19)	193.2252
P(15)	193.1086	R(15)	192.9235	R(21)	193.3979
P(17)	193.2795	R(17)	193.0666	R(23)	193.5836
P(19)	193.4671				

我们在腔内加两只  $\phi 8$  小孔光阑, 5 倍扩束望远镜, 光栅利用一级衍射光谱, 腔长为 1.2 m, 构成一个 Hansch 腔, 单程线宽可由下式计算

$$\Delta\lambda = \Delta\alpha \partial\lambda / \partial\alpha \quad (1)$$

$\Delta\alpha$  为经过扩束镜后的腔内激光发散角,  $\Delta\lambda$  为单程线宽,  $\partial\lambda/\partial\alpha$  为光栅色散率倒数。

由于腔长较长, 我们用输出发散角代替扩束镜前的腔内激光发散角, 测得输出发散角为 1.2 mrad, 扩束镜为 5 倍,  $\Delta\alpha \approx 0.24$  mrad, 光栅色散率倒数  $\partial\lambda/\partial\alpha = 0.52$  nm/mrad, 计算单程线宽~0.12 nm。由于腔内激光多次往返(脉宽~20 ns), 实际线宽要小于单程线宽。通过调谐光栅得到 ArF 激光的调谐输出曲线。调谐步长 0.0414 mrad(通过精密光栅调谐机构) 相当中心波长移动 0.021 nm, 得到包含氧气吸收峰的曲线(多次平均)。我们的光栅调谐机构可以精确地测出吸收峰的间隔, 和氧气的吸收光谱进行比较标定, 由于吸收谱线间距是不相等的, 可利用误差最小及 ArF 荧光光谱轮廓定出激光波长的绝对位置, 图 2 是测出并对吸收峰位置进行标定的曲线, 很精确地与文献[6] 吻合。图 2 中两吸收峰最小间隔~0.11 nm, 考虑到吸收峰宽度(包含 P, R 两支吸收谱), 估算激光器的线宽应小于 0.1 nm。调谐过程光栅转动 2.1 mrad, 计算中心波长移动~1 nm, 与 ArF 激光增益线宽吻合。

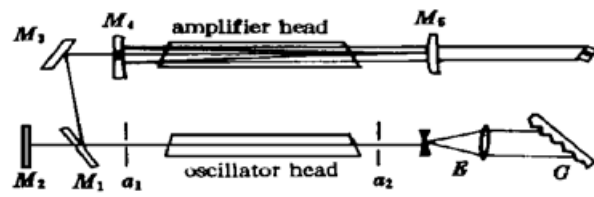


图 1 实验装置图

$a_1, a_2$ : 小孔光阑  $\phi 8$  mm; G: 光栅; E: 扩束镜;  $M_1$ : 透紫外石英平片;  $M_2, M_3$ : 平面全反镜;  $M_4$ : 中心带  $\phi 4$  小孔的凹面全反镜,  $R = 3000$  mm;  $M_5$ : 中心镀  $\phi 4$  全反膜的凸透镜,  $R = 600$  mm

Fig. 1 Diagram of the oscillator-amplifier system of the ArF excimer laser

$M_2, M_3$ : HR mirrors;  $M_4$ : HR mirror with a little hole in the center;  $M_5$ : output mirror with a small area HR in the center;  $M_1$ : beam splitter;  $a_1, a_2$ : shutters; F: beam expander; G: grating

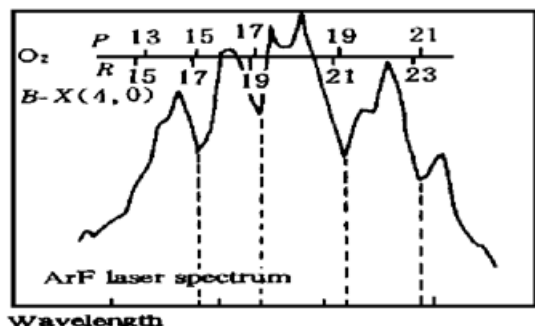


图 2 ArF 激光输出调谐曲线

Fig. 2 The output energy curve of the ArF laser

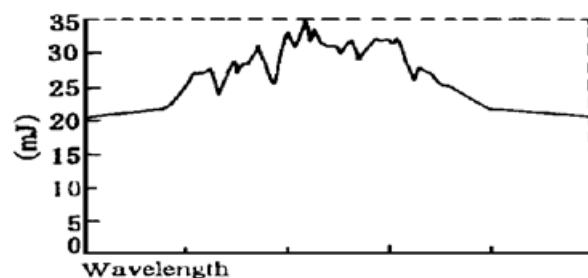


图 3 注入后 ArF 激光输出调谐曲线

Fig. 3 The output curve after injection

振荡级产生可调谐的窄线宽激光注入到非稳腔结构的放大级, 利用同一个闸流管和外电路解决了放电同步和延迟问题。注入能量 $\sim 100 \mu\text{J}$ , 图 3 是注入后调谐振荡级测得的放大级的输出能量曲线(同一点多次平均), 未注入时放大级输出能量约 20 mJ/脉冲, 注入后效率提高了约 50% 以上, 平均输出能量达 30 mJ/脉冲(使用 NJ-J1 型激光能量计)。利用 WDG-500-1A 型单色仪测三级光谱输出线宽, 未注入时, 线宽 $\sim 1.2 \text{ nm}$ 。注入后线宽 $\sim 0.1 \text{ nm}$ (单色仪分辨率限制), 调谐范围为 1.1 nm。输出为空心矩形光束, 全发散角为  $0.08 \times 0.2 \text{ mrad}$ 。如果振荡级腔内加入标准具, 可以得到更窄的线宽, 满足滤波瑞利散射对 ArF 激光器的要求。

**致谢** 感谢中国科学院安徽光机所赵振声同志及科研组对 ArF 准分子振动放大系统的研制。

### 参 考 文 献

- 1 R. Miles, W. Lempert. Two-dimensional measurement of density, velocity and temperature in turbulent high-speed air flows by UV rayleigh scattering. *Appl. Phys. B*, 1990, **51**(1) : 1~7
- 2 R. Miles, C. Cohen, J. Connors et al.. Velocity measurement by vibrational tagging and fluorescent probing of oxygen. *Opt. Lett.*, 1987, **12**(11) : 861~863
- 3 成序三, 楼祺洪, 郑承恩等. Blumlein 放电长脉冲 XeCl 激光器的窄线宽输出. 中国激光, 1985, **13**(1) : 36
- 4 成序三, 王润文. 高平均功率窄线宽 KrF 准分子激光系统的研究. 光学学报, 1992, **12**(6) : 511~515
- 5 赵振声. ArF 准分子激光振荡放大系统通过国家鉴定. 光电子技术与信息, 1996, **9**(1) : 46
- 6 J. J. Ewing. Excimer laser, Laser Hand Book, edited by ML. STTCH, 1979, **3** : 192

## On Tunable, Narrow Spectral Width Operation of a KrF Laser and Injected Amplification

Wang Jie Wu Feng Shi Xiangchun Xiao Xuhui Yao Jianquan

(College of Precision Instrument and Opto-electronics Engineering, Tianjin University, Tianjin 300072)

**Abstract** We obtain a spectral width less than 0.1 nm and a tunability about 1 nm by adding a grating, a beam expander, shutters and a combining lens in the oscillator of a discharge pumped ArF laser oscillator-amplifier system. The output power is injected into the amplifier that produces an average energy of 30 mJ/pulse, and the tunable, narrow spectral, and very low beam divergence laser output. The efficiency is increased about 50 percent after injection. A peak output of more than 50 mJ/pulse is achieved. The O<sub>2</sub> absorption of the ArF laser is also measured.

**Key words** ArF excimer laser, narrow spectral width, tunable, injection amplification